

# Resolução da primeira prova de Teoria Eletromagnética II

Matheus Silva de Lima

Escola Politécnica, Universidade Federal do Rio de Janeiro, Rio de Janeiro, Brasil

mathlima@poli.ufrj.br

**Resumo**—Este trabalho tem por objetivo apresentar a resolução da Primeira Prova de Teoria Eletromagnética II, aplicada no dia 6 de Abril de 2018, passo a passo, com o auxílio de ferramentas computacionais. O trabalho está organizado de forma a apresentarmos cada questão, e em seguida a resolvemos sucintamente.

**Palavras-chave**—Teoria Eletromagnética, TEII, Eletromagnetismo, Equações de Maxwell

## I. INTRODUÇÃO

TEORIA Eletromagnética II é a disciplina que da sequência aos assuntos abordados em Físicas III e IV na grade curricular da Engenharia Eletrônica e de Computação, com foco e aprofundamento naquilo que existe de mais importante na área de eletromagnetismo para a formação de um profissional de Engenharia Eletrônica.

Dessa forma, uma vez que os assuntos abordados nas Físicas III e IV são de suma importância para a continuidade da disciplina, a primeira prova de Teoria Eletromagnética II de 2018.1 consistiu de um apunhado de conceitos já abordados e revisados durante as aulas da disciplina, como por exemplo, Equações de Maxwell e Leis de Newton.

## II. QUESTÃO I

Um tubo muito fino possui em seu interior uma pequena bola de plástico carregada ( $Q = 1\mu\text{C}$ ) mostrado na figura abaixo. Uma segunda bola é inserida no sistema. Esta segunda bola é idêntica à primeira. Assumindo que não há atrito, que a parede do tubo não influencia nas cargas das bolas, que as bolas possuem massa de  $1\text{g}$ , que a permissividade do tudo é igual do espaço livre e que as bolas não sairão do tubo, calcule:

- 1) A distância entre as bolas para a configuração da esquerda
- 2) A distância entre bolas para a configuração da direita, para  $\alpha = 30, 45, 60$
- 3) A distância entre as bolas para a configuração 1 e 2 com permissividade dentro do tubo igual a  $\epsilon = \frac{\epsilon_0}{3}$
- 4) Qual o comportamento do sistema para as condições listadas no item b se a carga da segunda fosse  $Q/2$ ,  $-Q$ ,  $-Q/2$ ?

Item a)

Para a resolução desta questão, é preciso lembrar alguns conceitos de Leis de Newton e de Força entre partículas. Para

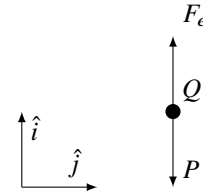


Figura 1. Diagrama de Forças sobre a partícula superior

um sistema em equilíbrio, a aceleração resultante das forças aplicadas na partícula deverá ser zero. Matematicamente, podemos utilizar a terceira lei de Newton e escrever que:

$$\sum_{i=0}^{N-1} \vec{F}_i = m\vec{a} = 0 \text{ Newtons} \quad (1)$$

Podemos então construir o diagrama de corpo livre da esfera superior e verificar que sobre ela, atuam apenas as forças elétrica e gravitacional. Dessa maneira, ambas as forças deverão se anular e podemos escrever que:

$$\vec{F}_g + \vec{F}_e = 0 \text{ Newtons} \quad (2)$$

Utilizando o sistema de coordenadas  $\hat{i}$  e  $\hat{j}$ , é simples verificar que não há contribuições de ambas as forças na direção do vetor unitário  $\hat{i}$ , e por fim, equacionamos as forças por:

$$F_g(-\hat{i}) + F_e(\hat{i}) = 0 \rightarrow F_g = F_e \Rightarrow mg = \frac{Q^2}{4\pi\epsilon_0 d^2} \quad (3)$$

de onde podemos chegar em

$$d = \sqrt{\frac{Q^2}{4\pi\epsilon_0 mg}} \text{ metros} \quad (4)$$

O cálculo da expressão resulta em:  $d = 0.957$  metros ( $g = 9.8 \text{ m/s}^2$ )

Item b)

Para a Configuração da Direita, o equacionamento é parecido, com a diferença que agora haverá contribuição da força elétrica para ambas as direções  $\hat{i}$  e  $\hat{j}$ . Podemos assumir que a contribuição em  $\hat{i}$  é anulada pelas paredes do tubo, e assim iremos equacionar, novamente, apenas a direção dada pelo vetor unitário  $\hat{j}$ . Dessa forma, podemos escrever que:

$$\vec{F}_e = \frac{Q^2}{4\pi\epsilon_0 d^2} \hat{i} + \frac{Q^2}{4\pi\epsilon_0 d^2} \hat{j} \rightarrow F_e \hat{j} = \frac{Q^2}{4\pi\epsilon_0 d^2} \sin(\alpha) \hat{j} \text{ Newtons} \quad (5)$$

Onde  $\alpha$  é o ângulo formado entre o piso e a parede interna do tubo, como definido na questão. Assim, podemos concluir que:

$$d = \sqrt{\frac{Q^2 \sin(\alpha)}{4\pi\epsilon_0 mg}} \text{ metros} \quad (6)$$

Para os ângulos de  $30^\circ$ ,  $45^\circ$  e  $60^\circ$  a expressão resulta em, respectivamente: 0,676, 0,804 e 0,890 metros

Item c)

Podemos utilizar as expressões já calculadas nos itens a) e b), de forma que só é necessário substituir a permissividade dentro do tubo de  $\epsilon_0$  para  $\epsilon = \frac{\epsilon_0}{3}$ . Dessa forma:

Para o tubo da esquerda:

$$d = \sqrt{\frac{Q^2}{4\pi\frac{\epsilon_0}{3}mg}} \text{ metros} \quad (7)$$

E para o tubo da direita:

$$d = \sqrt{\frac{Q^2 \sin(\alpha)}{4\pi\frac{\epsilon_0}{3}mg}} \text{ metros} \quad (8)$$

O calculo numérico das expressões resulta em uma distância de 0,164 metros para o tubo da esquerda e 0,116, 0,137 e 0,152 metros para o tubo da direita, respectivamente para os ângulos de  $30^\circ$ ,  $45^\circ$  e  $60^\circ$ .

Item d)

A força elétrica entre duas partículas atua sempre na direção que as une, e seu sentido varia de acordo com as cargas envolvidas na interação. Caso ambas as cargas tenham mesmo "sinal", ou seja, ambas positivas ou negativas, a força é repulsiva e as partículas tendem a assumir uma distância infinita. Caso contrário, a força é atrativa e as cargas tendem a se aproximar até o limite físico de distância nula.

Dito isso, podemos dizer que certamente, caso a segunda carga tenha carga  $-Q$  ou  $-\frac{Q}{2}$ , a distância final do sistema seria nula, uma vez que a direção da força elétrica corroboraria com a Força gravitacional e não a anularia (ou seja, as partículas iriam se aproximar até o limite de  $d=0$ ).

Já para o caso em que a segunda carga possui carga  $\frac{Q}{2}$ , podemos aproveitar o resultado obtido no item b), apenas adaptando-o para o novo valor de Carga. Dessa forma, chegamos no resultado:

$$d = \sqrt{\frac{\frac{Q^2}{2} \sin(\alpha)}{4\pi\epsilon_0 mg}} \text{ metros} \quad (9)$$

Para os ângulos de  $\alpha = 30^\circ$ ,  $45^\circ$  e  $60^\circ$ , temos um resultado numérico de 0,478, 0,568 e 0,629 metros.

### III. QUESTÃO 2

Dois cargas positivas  $+QC$  e duas cargas negativas  $-QC$  foram posicionadas nas bases da pirâmide e, uma quinta carga  $-QC$  completando a estrutura ilustrada na figura abaixo. A base da pirâmide tem dimensões  $d \times dm^2$  e é quadrada, além disso seus lados têm dimensão  $d$  m. Sendo assim, calcule:

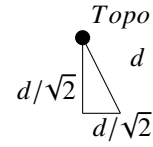


Figura 2. Diagrama Trigonômico utilizado para o Cálculo da Altura

- 1) O vetor campo elétrico no pináculo da pirâmide
- 2) O vetor campo elétrico no centro da base da pirâmide
- 3) O vetor força elétrica nas cargas negativas da base da pirâmide
- 4) Qual o potencial elétrico do sistema, tomando como referência uma das cargas positivas?
- 5) Qual o potencial elétrico do sistema, tomando como referência uma das cargas positivas da base, se a quinta carga fosse substituída por uma carga de  $\frac{+Q}{3}$ ?

Item a)

Podemos utilizar a linearidade do campo elétrico a nosso favor. Uma vez que temos um sistema de partículas e queremos calcular o campo elétrico em um ponto específico, podemos calcular os campos elétricos gerados por cada partícula separadamente sobre o pináculo (topo) da pirâmide, e por fim soma-los. Em um sistemas de coordenadas retangulares  $\hat{i} + \hat{j} + \hat{k}$ , isso se torna:

$$\vec{E}(x, y, z) = \frac{1}{4\pi\epsilon_0} \sum_{i=0}^{N-1} \frac{Q_i((x - x_i)\hat{i} + (y - y_i)\hat{j} + (z - z_i)\hat{k})}{((x - x_i)^2 + (y - y_i)^2 + (z - z_i)^2)^{\frac{3}{2}}} \quad (10)$$

Os pontos de cada um das quatro cargas que irão contribuir para este campo elétrico em coordenadas retangulares (x,y,z) são:

- 1)  $Q1 = (d/2, d/2, 0)$
- 2)  $Q2 = (d/2, -d/2, 0)$
- 3)  $Q3 = (-d/2, d/2, 0)$
- 4)  $Q4 = (-d/2, -d/2, 0)$

É importante notar que o ponto residente sobre o pináculo da pirâmide não participará efetivamente do calculo do campo elétrico, pois não poderíamos definir um campo neste ponto considerando-o, uma vez que isso viola a definição de campo elétrico:

$$\vec{E} = \lim_{q \rightarrow 0} \frac{\vec{F}}{q} \quad (11)$$

Já o pináculo da pirâmide pode ser encontrado utilizando relações geométricas. A figura deixa clara que o pináculo se encontra sobre  $x = 0$ ,  $y = 0$  no plano  $xy$ . Já o eixo  $z$  encontramos através do teorema de Pitágoras:  $z = d\frac{\sqrt{2}}{2}$

Dessa forma, nos basta resolver a Equação (10) para  $N = 4$  pontos, no ponto de interesse  $(x,y,z) = \text{Pináculo da pirâmide} = (0,0,d\frac{\sqrt{2}}{2})$ :

$$\vec{E}(0, 0, d\frac{\sqrt{2}}{2}) = \frac{1}{4\pi\epsilon_0} \left( \frac{Q(-x_i\hat{i} - y_i\hat{j} + (d\frac{\sqrt{2}}{2} - z_i)\hat{k})}{(x_i^2 + y_i^2 + (d\frac{\sqrt{2}}{2} - z_i)^2)^{\frac{3}{2}}} + \dots \right) \quad (12)$$

Pela simetria do problema, é simples chegarmos a conclusão que essa expressão é igual a  $\vec{0}$  para qualquer ponto  $\vec{r}$  que resida sobre o eixo  $z$  (ou seja,  $(x, y) = (0, 0)$ ). Dessa forma:

$$\vec{E}(0, 0, d\frac{\sqrt{2}}{2}) = \vec{0} \text{ N/C.} \quad (13)$$

Item b)

Novamente, podemos utilizar a linearidade do Campo Elétrico e calcular novamente o Campo Elétrico no ponto de interesse  $(x, y, z) = (0, 0, 0)$ . Entretanto, desta vez deverá ser utilizado todos os 5 pontos no lugar de quatro, uma vez que a carga sobre o pináculo da pirâmide não é mais tratada como carga de teste. Dessa forma, considerando as cinco Cargas sobre os pontos:

- 1)  $Q1 = (d/2, d/2, 0)$
- 2)  $Q2 = (d/2, -d/2, 0)$
- 3)  $Q3 = (-d/2, d/2, 0)$
- 4)  $Q4 = (-d/2, -d/2, 0)$
- 5)  $Q5 = (0, 0, d\frac{\sqrt{2}}{2})$

Temos que o Campo Elétrico é dado por:

$$\vec{E}(0, 0, 0) = \frac{1}{4\pi\epsilon_0} \sum_{i=0}^4 \frac{Q_i((0-x_i)\hat{i} + (0-y_i)\hat{j} + (0-z_i)\hat{k})}{((0-x_i)^2 + (0-y_i)^2 + (0-z_i)^2)^{\frac{3}{2}}} \text{ N/C} \quad (14)$$

Entretanto, este somatório é, até o índice  $N = 3$ , igual a  $\vec{0}$ , pois como já visto no item a), o Campo Elétrico gerado pelas 4 Cargas  $Q_i$  da base da pirâmide é igual a zero em qualquer ponto sobre o eixo  $z$  ( $(x, y) = (0, 0)$ ).

Em outras palavras, a única contribuição para o Campo Elétrico na base da Pirâmide será dada pela quinta carga,  $Q_5$ , residente em seu pináculo. Dessa forma, nosso campo elétrico é igual a:

$$\vec{E}(0, 0, 0) = \frac{1}{4\pi\epsilon_0} \frac{Q_4((0-0)\hat{i} + (0-0)\hat{j} + (0-d\frac{\sqrt{2}}{2})\hat{k})}{((0-0)^2 + (0-0)^2 + (0-d\frac{\sqrt{2}}{2})^2)^{\frac{3}{2}}} \text{ N/C} \quad (15)$$

$$\vec{E}(0, 0, 0) = \frac{1}{4\pi\epsilon_0} \frac{+Qd\frac{\sqrt{2}}{2}\hat{k}}{(-d\frac{\sqrt{2}}{2})^3} = \frac{1}{4\pi\epsilon_0} \frac{-Q\hat{k}}{d^2} \text{ N/C} \quad (16)$$

Que nada mais é do que o Campo gerado por uma Carga Pontiforme.

Item c)

A força elétrica exercida sobre as cargas na base pode ser calculada por:

$$\vec{F}(x, y, z) = \frac{-Q}{4\pi\epsilon_0} \sum_{i=0}^{N-1} \frac{Q_i((x-x_i)\hat{i} + (y-y_i)\hat{j} + (z-z_i)\hat{k})}{((x-x_i)^2 + (y-y_i)^2 + (z-z_i)^2)^{\frac{3}{2}}} \text{ N} \quad (17)$$

Onde  $N$  é o número de cargas que exercem força sobre a carga de teste.

Para o caso das cargas negativas na Base, temos  $N=4$  e então a Força elétrica será dada por:

$$\vec{F}(\frac{d}{2}, \frac{-d}{2}, 0) = \frac{-Q}{4\pi\epsilon_0} \left( \frac{Q((\frac{d}{2} - \frac{d}{2})\hat{i} + (\frac{-d}{2} - \frac{d}{2})\hat{j} + (0-0)\hat{k})}{((\frac{d}{2} - \frac{d}{2})^2 + (\frac{-d}{2} - \frac{d}{2})^2 + (0-0)^2)^{\frac{3}{2}}} + \right. \\ \left. + \frac{-Q((\frac{d}{2} - \frac{-d}{2})\hat{i} + (\frac{-d}{2} - \frac{d}{2})\hat{j} + (0-0)\hat{k})}{((\frac{d}{2} - \frac{-d}{2})^2 + (\frac{-d}{2} - \frac{d}{2})^2 + (0-0)^2)^{\frac{3}{2}}} + \right. \\ \left. + \frac{+Q((\frac{d}{2} - \frac{d}{2})\hat{i} + (\frac{-d}{2} - \frac{-d}{2})\hat{j} + (0-0)\hat{k})}{((\frac{d}{2} - \frac{d}{2})^2 + (\frac{-d}{2} - \frac{-d}{2})^2 + (0-0)^2)^{\frac{3}{2}}} + \right. \\ \left. + \frac{-Q((\frac{d}{2} - 0)\hat{i} + (\frac{-d}{2} - 0)\hat{j} + (0-d\frac{\sqrt{2}}{2})\hat{k})}{((\frac{d}{2} - 0)^2 + (\frac{-d}{2} - 0)^2 + (0-d\frac{\sqrt{2}}{2})^2)^{\frac{3}{2}}} \right) \text{ N} \quad (18)$$

Podemos simplificar esta expressão, explicitando a direção na qual cada força atua. Assim, chegamos ao resultado:

$$\vec{F}(\frac{d}{2}, \frac{-d}{2}, 0) = \frac{Q^2}{4\pi\epsilon_0 d^2} \left( \hat{j} + \frac{(\hat{i} - \hat{j})}{2\sqrt{2}} - \hat{i} + \frac{(\hat{i} - \hat{j} - \sqrt{2}\hat{k})}{\frac{125}{4}} \right) \text{ N} \quad (19)$$

De forma similar, a força elétrica sobre a segunda carga negativa na base pode ser calculada facilmente, utilizando-se da mesma fórmula:

$$\vec{F}(\frac{-d}{2}, \frac{d}{2}, 0) = \frac{-Q}{4\pi\epsilon_0} \left( \frac{Q((\frac{-d}{2} - \frac{d}{2})\hat{i} + (\frac{d}{2} - \frac{d}{2})\hat{j} + (0-0)\hat{k})}{((\frac{-d}{2} - \frac{d}{2})^2 + (\frac{d}{2} - \frac{d}{2})^2 + (0-0)^2)^{\frac{3}{2}}} + \right. \\ \left. + \frac{-Q((\frac{-d}{2} - \frac{-d}{2})\hat{i} + (\frac{d}{2} - \frac{d}{2})\hat{j} + (0-0)\hat{k})}{((\frac{-d}{2} - \frac{-d}{2})^2 + (\frac{d}{2} - \frac{d}{2})^2 + (0-0)^2)^{\frac{3}{2}}} + \right. \\ \left. + \frac{+Q((\frac{-d}{2} - \frac{d}{2})\hat{i} + (\frac{d}{2} - \frac{-d}{2})\hat{j} + (0-0)\hat{k})}{((\frac{-d}{2} - \frac{d}{2})^2 + (\frac{d}{2} - \frac{-d}{2})^2 + (0-0)^2)^{\frac{3}{2}}} + \right. \\ \left. + \frac{-Q((\frac{-d}{2} - 0)\hat{i} + (\frac{d}{2} - 0)\hat{j} + (0-d\frac{\sqrt{2}}{2})\hat{k})}{((\frac{-d}{2} - 0)^2 + (\frac{d}{2} - 0)^2 + (0-d\frac{\sqrt{2}}{2})^2)^{\frac{3}{2}}} \right) \text{ N} \quad (20)$$

O que também pode ser simplificado para:

$$\vec{F}(\frac{-d}{2}, \frac{d}{2}, 0) = \frac{Q^2}{4\pi\epsilon_0 d^2} \left( \hat{i} + \frac{(\hat{j} - \hat{i})}{2\sqrt{2}} - \hat{j} + \frac{(\hat{j} - \hat{i} - \sqrt{2}\hat{k})}{\frac{125}{4}} \right) \text{ N} \quad (21)$$

Item d)

Podemos utilizar o fato que o potencial elétrico é um campo escalar linear e, portanto, o potencial total para  $N$  cargas pontuais é dado pela soma de  $N$  potenciais elétricos pontuais, ou seja:

$$V(x, y, z) = \frac{1}{4\pi\epsilon_0} \sum_{i=0}^{N-1} \frac{Q_i}{\sqrt{((x-x_i)^2 + (y-y_i)^2 + (z-z_i)^2)}} \text{ Volts} \quad (22)$$

Dessa maneira, o campo elétrico é dado por:

$$V(x, y, z) = \frac{Q}{4\pi\epsilon_0} \left( \frac{1}{\sqrt{((x-d/2)^2 + (y-d/2)^2 + (z)^2)}} - \frac{1}{\sqrt{((x+d/2)^2 + (y-d/2)^2 + (z)^2)}} + \frac{1}{\sqrt{((x+d/2)^2 + (y+d/2)^2 + (z)^2)}} - \frac{1}{\sqrt{((x-d/2)^2 + (y+d/2)^2 + (z)^2)}} - \frac{1}{\sqrt{((x)^2 + (y)^2 + (z-d\sqrt{2}/2)^2)}} \right) \text{ Volts} \quad (23)$$

Item e)

Caso a quinta carga seja substituída, basta alterarmos a parcela na qual ela afeta o campo elétrico, não sendo necessário alterar as demais contribuições. Isso nos leva a:

$$V(x, y, z) = \frac{Q}{4\pi\epsilon_0} \left( \frac{1}{\sqrt{((x-d/2)^2 + (y-d/2)^2 + (z)^2)}} - \frac{1}{\sqrt{((x+d/2)^2 + (y-d/2)^2 + (z)^2)}} + \frac{1}{\sqrt{((x+d/2)^2 + (y+d/2)^2 + (z)^2)}} - \frac{1}{\sqrt{((x-d/2)^2 + (y+d/2)^2 + (z)^2)}} + \frac{1/5}{\sqrt{((x)^2 + (y)^2 + (z-d\sqrt{2}/2)^2)}} \right) \text{ Volts} \quad (24)$$

#### IV. QUESTÃO 3

- 1) Suponha uma carga pontual  $Q$ , está localizada na origem. Assim sendo, mostre que  $\text{div}D = 0$  para todos os pontos exceto para a origem. Substitua a carga pontual  $Q$  por uma densidade volumétrica de carga uniforme  $\rho_v$  (distribuída entre  $0 < r < r_1$ ), relacione  $\rho_v$  com  $Q$  e  $r_1$  de modo que a carga pontual seja a mesma e determine  $\text{div}D$  para todos os pontos.
- 2) Quatro cargas pontuais de  $0.8\eta C$  são posicionadas no espaço livre nos vértices de um quadrado de  $4\text{cm}$  de lado. Determine a energia potencial total armazenada, e se uma quinta carga, também de  $0.8\eta C$  fosse posicionada no centro do quadrado, qual seria a energia potencial total armazenada nessa nova configuração?
- 3) Suponha um filamento quadrado perfeitamente condutor contendo um pequeno resistor de  $500\Omega$  com  $0,5\text{m}$  de lado posicionado sobre o plano  $xy$  (com  $z = 0$ ). Determine a corrente no filamento ( $i(t)$ ) se o campo magnético ( $B$ ) for  $B_1 = 0,3\cos(120\pi t - 30^\circ)^z T$ ,  $B_2 = 0,4\cos(\pi(ct - y))^z T$ , onde  $c = 3 * 10^8 \text{m/s}$

Item a)

Seguindo o enunciado da questão, podemos substituir a carga pontiforme  $Q$  na origem por uma densidade volumétrica de cargas  $\rho_v$ , distribuída de tal forma que  $0 < \rho_v \leq r_1$ .

Esta densidade volumétrica de cargas está portanto contida dentro de uma esfera de raio  $r_1$ , cujo volume é dado por:

$$V = \frac{4}{3}\pi r_1^3 \mapsto V \propto r_1^3 \quad (25)$$

Pela definição de densidade volumétrica de cargas, temos que:

$$\rho_v = \lim_{V \rightarrow 0} \frac{\Delta Q}{\Delta V} \mapsto \lim_{r_1 \rightarrow 0} \frac{\Delta Q}{\Delta r_1} \quad (26)$$

Ainda, pelas Equações de Maxwell, temos a relação entre a Densidade volumétrica de cargas e a Densidade de Fluxo Elétrico, dado por:

$$\vec{\nabla} \cdot \vec{D} = \rho_v \quad (27)$$

Portanto:

$$\vec{\nabla} \cdot \vec{D} = \lim_{r_1 \rightarrow 0} \frac{\Delta Q}{\Delta r_1} \quad (28)$$

Por essa equação podemos ver que para que o Divergente da densidade de Fluxo Elétrico seja diferente de zero, a densidade de cargas  $\rho_v$  deve ser diferente de zero. Como a mesma foi definida em termos do raio  $r_1$  da esfera centrada na origem, temos que o vetor posição  $\vec{r}$  deve estar entre  $0$  e  $r_1$  para que  $\vec{\nabla} \cdot \vec{D} = \rho_v$ . Entretanto, como tomamos o  $\lim_{r_1 \rightarrow 0}$  no volume da esfera, pelo teorema do confronto, temos que, necessariamente:

$$\vec{\nabla} \cdot \vec{D} \neq 0 \Rightarrow \vec{\nabla} \cdot \vec{D} = \rho_v \Leftrightarrow \vec{r} = \vec{0} \quad (29)$$

e finalmente, utilizando-se de lógica matemática

$$\vec{r} \neq \vec{0} \Rightarrow \vec{\nabla} \cdot \vec{D} = 0 \quad (30)$$

Item b)

A energia potencial em um sistema se relaciona com o potencial elétrico pela seguinte relação:

$$\Delta V q = \Delta U \quad (31)$$

Assim podemos tomar como referencial nulo um ponto no infinito e afirmar que

$$V(x, y, z) q = U(x, y, z) \quad (32)$$

Posicionando o quadrado cuidadosamente no centro do plano  $xy$  no espaço livre, os pontos ocupados pelas cargas serão:

- 1)  $Q1 = (2\text{cm}, 2\text{cm}, 0)$
- 2)  $Q2 = (2\text{cm}, -2\text{cm}, 0)$
- 3)  $Q3 = (-2\text{cm}, 2\text{cm}, 0)$
- 4)  $Q4 = (-2\text{cm}, -2\text{cm}, 0)$

Podemos então utilizar o mesmo procedimento adotado na Questão 2d), e utilizar a linearidade do potencial elétrico para calcular, utilizando a Fórmula (22):

$$V(x, y, z) = \frac{0.8}{4\pi\epsilon_0} \left( \frac{1}{\sqrt{((x-2)^2 + (y-2)^2 + z^2)}} + \frac{1}{\sqrt{((x+2)^2 + (y-2)^2 + z^2)}} + \frac{1}{\sqrt{((x-2)^2 + (y+2)^2 + z^2)}} + \frac{1}{\sqrt{((x+2)^2 + (y+2)^2 + z^2)}} \right) \text{ Volts} \quad (33)$$

O que nos leva a:

$$U(x, y, z) = q \frac{0.8}{4\pi\epsilon_0} \left( \frac{1}{\sqrt{((x-2)^2 + (y-2)^2 + z^2)}} + \frac{1}{\sqrt{((x+2)^2 + (y-2)^2 + z^2)}} + \frac{1}{\sqrt{((x-2)^2 + (y+2)^2 + z^2)}} + \frac{1}{\sqrt{((x+2)^2 + (y+2)^2 + z^2)}} \right) J \quad (34)$$

Caso a quinta carga seja adicionada, ela será posicionada no ponto  $P5 = (0, 0, 0)$ , a energia potencial total passará a ser:

$$U(x, y, z) = q \frac{0.8}{4\pi\epsilon_0} \left( \frac{1}{\sqrt{((x-2)^2 + (y-2)^2 + z^2)}} + \frac{1}{\sqrt{((x+2)^2 + (y-2)^2 + z^2)}} + \frac{1}{\sqrt{((x-2)^2 + (y+2)^2 + z^2)}} + \frac{1}{\sqrt{((x+2)^2 + (y+2)^2 + z^2)}} + \frac{1}{\sqrt{(x^2 + y^2 + z^2)}} \right) J \quad (35)$$

Item c)

Podemos utilizar as Equações de Maxwell para campos variáveis no tempo e descobrir a tensão induzida sobre o filamento. Mais especificadamente, utilizando a Lei de Lenz:

$$E_i = -\frac{\partial \Phi}{\partial t} \quad (36)$$

Onde  $E_i$  é a Tensão induzida sobre o fio. Dessa forma:

$$\Phi_1 = \iint_R \vec{B}_1 \cdot d\vec{A} = \iint_R B_1 dA = B_1 \iint_R dA = 0,5^2 B_1 \text{ Wb} \quad (37)$$

$$E_1 = -\frac{\partial \Phi_1}{\partial t} = 9\pi \text{sen}(120\pi t - 430) \text{ N/C} \quad (38)$$

De forma parecida, para o Campo  $B_2(t)$  temos:

$$\Phi_2 = \iint_{R=[0,0.5] \times [0,0.5]} \vec{B}_2 \cdot d\vec{A} = \iint_R B_2 dA = \int_0^{0.5} \int_0^{0.5} B_2 dx dy \quad (39)$$

$$\Phi_2 = 0.2 \int_0^{0.5} \cos(\pi(ct-y)) dy = \frac{0.2}{\pi} (\cos(\frac{2\pi ct - \pi}{2}) - \cos(\pi ct)) \text{ Wb} \quad (40)$$

O que nos dá o Campo  $E_2$

$$E_2 = -c(\text{sen}(\frac{2\pi ct - \pi}{2}) - \text{sen}(\pi ct)) \text{ N/C} \quad (41)$$

Enfim, temos que as correntes elétricas induzidas são:

$$i_1(t) = \frac{E_1(t)}{500\Omega} = \frac{9\pi}{500} \text{sen}(120\pi t - 430) \text{ A} \quad (42)$$

$$i_2(t) = \frac{E_2}{500\Omega} = -\frac{3 \cdot 10^8}{500} (\text{sen}(\frac{2\pi 3 \cdot 10^8 t - \pi}{2}) - \text{sen}(\pi 3 \cdot 10^8 t)) \text{ A} \quad (43)$$

#### V. QUESTÃO 4

- 1) Prove o teorema do divergente, utilizando a lei de Gauss
- 2) Disserte sobre o experimento das duas esferas e suas aplicações em eletromagnetismo.

Item a)

Seja  $\partial S$  uma superfície fechada e  $\vec{D}(x, y, z)$  a densidade de fluxo elétrico definida por  $\vec{D}(\vec{r}) = \epsilon_0 \vec{E}(\vec{r})$ , a Lei de Gauss nos diz que a integral de superfície sobre  $S$  é igual a carga interna total, ou seja:

$$\oint_{\partial S} \vec{D} \cdot d\vec{A} = Q_{int} \quad (44)$$

Podemos então, utilizando a definição de densidade volumétrica de cargas  $\rho_v = \lim_{\Delta v \rightarrow 0} \frac{\Delta Q}{\Delta v}$ , escrever que

$$Q = \iiint_v \rho_v dv \quad (45)$$

E assim igualamos as integrais sobre o volume  $v = S$  para encontrar

$$\oint_{\partial S} \vec{D} \cdot d\vec{A} = \iiint_S \rho_v dv \quad (46)$$

Por fim, utilizamos a Lei de Gauss em sua forma diferencial para relacionarmos a Densidade de Fluxo Elétrico e a Densidade Volumétrica de Cargas, e enfim, chegamos à forma final do Teorema do Divergente:

$$\rho_v = \vec{\nabla} \cdot \vec{D} \quad (47)$$

$$\oint_{\partial S} \vec{D} \cdot d\vec{A} = \iiint_S \vec{\nabla} \cdot \vec{D} dv \rightarrow \oint_{\partial S} \vec{F} \cdot d\vec{A} = \iiint_S \vec{\nabla} \cdot \vec{F} dv \quad (48)$$

Item b)

O experimento conhecido por "Experimento de duas esferas" foi realizado por Michael Faraday ao redor de 1837, e consiste basicamente da observação da carga armazenada em esferas concêntricas.

Uma esfera metálica condutora, e uma casca esférica também condutora, foram postas "uma dentro da outra", separadas por um material *dielétrico*. O experimento segue como descrito:

- 1) *Com o equipamento desmontado, a esfera metálica interna é dada uma carga  $Q$  conhecida*
- 2) *O equipamento é então montado, fechando-se a casca esférica sobre a esfera metálica, de forma que ambas fiquem separados pelo material dielétrico (não condutor)*
- 3) *A casca esférica exterior é brevemente descarregada, para assegurar-se que possui carga nula*
- 4) *O equipamento é então desmontado cuidadosamente, utilizando ferramentas de material isolante com objetivo de não se alterar as cargas envolvidas no experimento*

Faraday observou então que a Carga induzida sobre a esfera exterior era exatamente igual *em módulo* a carga conhecida interna, e após repetir o experimento com outros materiais dielétricos, concluiu que mantinha uma relação de independência com o material dielétrico utilizado. Dessa forma, concluiu que devia existir um fluxo elétrico que unisse ambas as esferas.

Esse experimento é fundamental para a história do eletromagnetismo, pois é a primeira comprovação experimental da existência de um fluxo elétrico, e é o primeiro passo para a definição da Lei de Gauss como definida nas Equações de Maxwell.

## VI. CONCLUSÃO

Neste trabalho foi resolvida toda a primeira prova de Teoria Eletromagnética II, passo a passo, de maneira clara e concisa. Esse trabalho teve então por produto final a melhor compreensão do aluno quanto à prova aplicada, o estudo da linguagem  $\text{\LaTeX}$ , e espera-se que sirva de material de estudo para os próximos alunos que cursarão a disciplina nos próximos semestres.

## REFERÊNCIAS

- [1] Hayt, William Hart, 1920– Engineering electromagnetics / William H. Hayt, Jr., John A. Buck. — 8th ed. p. cm. Includes bibliographical references and index. ISBN 978-0-07-338066-7 (alk. paper) 1. Electromagnetic theory. I. Buck, John A. II. Title. QC670.H39 2010 530.14 1—dc22 2010048332
- [2] Nathanael Jr, "Notas de Aula". Rio de Janeiro: 2018